

ИЗВЕСТИЯ
ТОМСКОГО ОРДЕНА ТРУДОВОГО КРАСНОГО ЗНАМЕНИ
ПОЛИТЕХНИЧЕСКОГО ИНСТИТУТА имени С. М. КИРОВА

Том 161

1967

ОПРЕДЕЛЕНИЕ ЧАСТОТЫ ПЕРЕКЛЮЧЕНИЙ
СИСТЕМЫ ПРИ ИМПУЛЬСНОМ ВОЗБУЖДЕНИИ
ЭЛЕКТРИЧЕСКИХ МАШИН

А. И. ЗАЙЦЕВ, С. А. КИТАЕВА

При импульсном регулировании возбуждения ток возбуждения имеет пульсирующий характер. Наличие пульсаций тока приводит к потерям стали на вихревые токи и к дополнительным потерям в сопротивлении обмотки, вызванным различием эффективного значения тока при пульсирующем характере и при отсутствии пульсаций.

Кроме того, наличие пульсаций тока в обмотке возбуждения приводит к тому, что э.д.с. генератора носит колебательный характер также вызывая амплитудную модуляцию, приводящую к ухудшению динамических качеств систем.

В связи с этим при создании импульсных систем особое внимание необходимо уделять величине модуляции выходного напряжения. С этой точки зрения форма кривой тока и напряжения в установившемся режиме должна максимально приближаться к гладкой составляющей.

В данной статье рассматриваются вопросы пульсаций тока возбуждения и напряжения на якоре генератора постоянного тока в системе регулирования, в которой на обмотку возбуждения подаются прямоугольные импульсы напряжения с частотой T_1 и скважностью γ_1 в

интервале времени T_1 и импульсы с периодом T_2 и скважностью γ_2 в интервале $T(1-\gamma)$ [1] рис. 1.

В такой системе коэффициент пульсаций тока, исходя из условия, что в интервале времени T_1 на обмотку возбуждения подается напряжение U_{γ_1} , а в интервале времени $T(1-\gamma) - U_{\gamma_2}$, может быть определен как

$$\kappa = \frac{I_{\max}}{I_{\min}} = \frac{\gamma_1(1 - e^{-\beta\gamma}) + \gamma_2[1 - e^{-\beta(1-\gamma)}]e^{-\beta\gamma}}{\gamma_1 e^{-\beta(1-\gamma)}(1 - e^{-\gamma\beta}) + \gamma_2[1 - e^{-\beta(1-\gamma)}]} \quad (1)$$

где

$$\beta = \frac{T}{T_B}; \quad T_B = \frac{L_B}{R_B},$$

R_b , L_b — активное сопротивление и индуктивность обмотки возбуждения.

Уменьшение коэффициента пульсаций можно получить путем увеличения частоты переключения. С этой целью частота переключения должна быть возможно большей. Однако увеличение частоты возможно до определенного уровня, при котором потеря на переключение приводят к выводу из строя переключающих полупроводниковых приборов. Эта частота задается для каждого типа полупроводниковых приборов.

Поэтому с точки зрения нагрева полупроводниковых приборов и надежности работы системы частоту переключений целесообразно выбирать по условиям пульсаций при заданной относительной продолжительности включения [2].

Частота переключений для системы определяется из (1). Так как точное выражение для определения периода колебаний получается сложным, считаем, что при $T_b \ll T$

$$1 - e^{-\beta t} \approx \beta \gamma; \quad 1 - e^{-\beta(1-\gamma)} \approx \beta(1-\gamma),$$

тогда

$$T = \frac{(\gamma - 1)[\gamma_2(1 - \gamma) + \gamma_1\gamma]}{\gamma(1 - \gamma)(\gamma_1 - \gamma_2)} T_b \quad (2)$$

На основании (2) можно построить закон изменения периода повторения $T = f(\gamma)$ при постоянном заданном коэффициенте пульсаций (рис. 2).

При работе генератора постоянного тока на линейном участке кривой намагничивания зависимость ЭДС от тока возбуждения $E = f(i_b)$ линейная и имеет вид

$$E = i \operatorname{tg} \sigma,$$

где $\sigma = \text{const}$ и является углом наклона характеристики холостого хода к оси абсцисс. В этом случае полный размах пульсаций э. д. с. генератора можно определить как [3]

$$\Delta E = k \Delta i = E_{\max} - E_{\min} = \frac{E_{\text{уст}}(\gamma_1 - \gamma_2)(1 - e^{-\beta\gamma})(1 - e^{-\beta(1-\gamma)})}{1 - e^{-\beta}}, \quad (3)$$

где

$$E_{\text{уст}} = \frac{U \operatorname{tg} \sigma}{R_b},$$

а выражение (1) для коэффициента пульсаций тока будет справедливо и для коэффициента пульсаций э. д. с.

Таким образом, уменьшения модуляции выходного напряжения можно достичь путем увеличения постоянной времени обмотки возбуждения, либо повышением частоты переключения. Увеличение постоянной времени обмотки возбуждения связано с уменьшением быстродействия системы регулирования. Поэтому основным методом уменьшения модуляции является повышение частоты автоколебаний.

Частота переключения в данной системе определяется частотой переключения релейного элемента. В такой нелинейной системе частота автоколебаний и амплитуда определяются известными методами

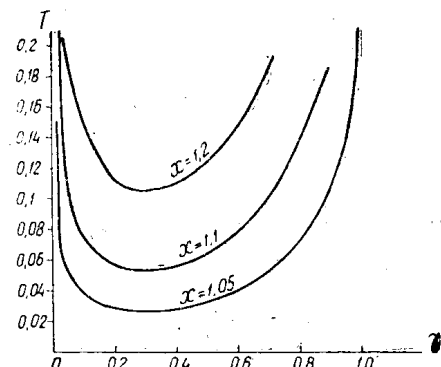


Рис. 2.

нелинейной теории и зависят от свойств системы. Для системы второго порядка с характеристикой релейного звена, показанной на рис. 3 для определения частоты переключения и амплитуды в аналитической форме удобно воспользоваться приближенным методом гармонического баланса.

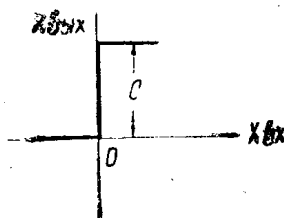


Рис. 3.

Ввиду того, что релейное звено имеет несимметричную характеристику, в системе автоматического регулирования возникают несимметричные автоколебания с постоянной составляющей:

$$U = U_0 + A \sin \omega t,$$

где U_0 — постоянная составляющая;
 A и ω — амплитуда и частота автоколебаний.

Анализируя систему автоматического регулирования, можно получить выражения для определения частоты и амплитуды автоколебания, выраженные через параметры системы.

Частота переключения системы определяется как

$$\omega = \sqrt{\frac{T_1 + T_B + (1+k\beta)\tau}{T_1 T_B \tau}}, \quad (4)$$

$$A = \frac{2ck \cos \left[\pi - \left(\frac{C}{2} + U_0(1+k\beta) + bI_y R_y \right) \frac{\pi}{c} \right]}{\pi \omega \sqrt{T_1^2 T_B^2 \omega^2 + (T_1 + T_B)^2}}, \quad (5)$$

где: k — коэффициент усиления системы;
 T_1, T_B — постоянные времени системы;
 τ — запаздывание в системе, вносимое импульсным элементом;
 $I_y R_y$ — падение напряжения на якоре, изменяющееся в зависимости от изменения нагрузки;
 β — коэффициент обратной связи.

Смещение центра автоколебаний определяется параметрами системы и величиной нагрузки.

$$U_0 = \frac{k \left(\frac{c}{2} - \frac{c}{\pi} \arcsin \frac{U_0}{A} \right) + bI_y R_y}{1+k\beta}. \quad (6)$$

Увеличение нагрузки на генератор приводит к увеличению амплитудной модуляции выходного напряжения генератора. Объясняется это тем, что с увеличением нагрузки смещение центра автоколебаний происходит в сторону увеличения, а это приводит к уменьшению величины скважности γ , в результате величина пульсаций напряжения увеличивается.

Анализы выражений (4), (5), (6) позволяют сделать практические рекомендации по выбору параметров системы из условия получения наибольшей частоты переключений и наименьшей амплитуды автоколебаний. Закон изменения амплитуды колебаний от частоты показан на рис. 4.

Экспериментальному исследованию подверглась импульсная система регулирования напряжения генератора постоянного тока. Исследования проводились в установившемся тепловом режиме, при этом

определялась величина пульсаций тока, амплитуда колебаний напряжения при различных нагрузках.

Наибольшая величина пульсаций тока возбуждения генератора наблюдалась при номинальной нагрузке и составляла 1,22, при этом амплитуда автоколебаний равна 0,15 в, что составляет 0,55%.

Сопоставление экспериментальных данных с расчетными по выведенным уравнениям дает расхождение 10—15%.

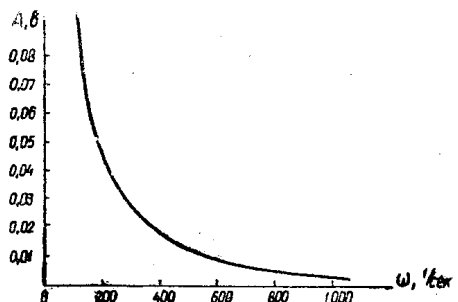


Рис. 4.

ЛИТЕРАТУРА

1. А. И. Зайцев, С. А. Китаев. Релейно-импульсный регулятор напряжения генераторов постоянного тока, Известия ТПИ, т. 139, 1965.
2. А. П. Зайцев. Разработка и исследование некоторых импульсных устройств для управления электрическими машинами, Диссертация, ТПИ, 1964.
3. Е. Н. Попов, И. П. Пальтов. Приближенные методы исследования нелинейных автоматических систем, Физматгиз, 1960.